

# А В Т О М Е Т Р И Я И ВЫЧИСЛИТЕЛЬНОЙ ТЕХНИКЕ

УДК 621.38 : 519.87

Ю. А. Пичуева

(Новосибирск)

## АЛГОРИТМ ВЕТВЛЕНИЯ ДЛЯ РЕШЕНИЯ ЗАДАЧИ СВЕРТЫВАНИЯ ПРОГРАММИРУЕМЫХ ЛОГИЧЕСКИХ МАТРИЦ

Представлен алгоритм свертывания программируемых логических матриц по столбцам и строкам, позволяющий уменьшить временные затраты путем сокращения дерева перебора. Приведены сведения о его программной реализации, предусматривающей возможность генерации топологии с учетом ограничений, возникающих при проектировании БИС.

**Введение.** *Свертывание программируемых логических матриц (ПЛМ).* Основные виды свертывания. ПЛМ широко используются для реализации комбинационной логики при проектировании БИС [1]. Основным недостатком такой реализации является низкая плотность транзисторов в плоскостях ПЛМ. Эффективность использования площади кристалла, занимаемой программируемой логической матрицей, может быть повышена за счет ее свертывания, при котором два входных (или два выходных) сигнала располагаются в одном столбце матрицы. При этом один из них подводится снизу, другой — сверху, а строки (термы) должны быть переставлены таким образом, чтобы свернутая ПЛМ реализовывала ту же функцию, что и исходная (рис. 1). Такой вид свертывания называется свертыванием по столбцам.

Аналогичным образом можно произвести свертывание по строкам. При этом одна из плоскостей матрицы делится на две части и располагается по обе стороны от другой плоскости. При конфигурации AND—OR—AND входные, а при конфигурации OR—AND—OR выходные сигналы делятся на два непесекающихся множества (рис. 2).

Свертывание по столбцам и по строкам можно совершать одновременно [2] или последовательно [3] [3].

Существует понятие сложного свертывания [4], при котором разрешается размещать в одном столбце не два, а несколько сигналов. При этом возникают

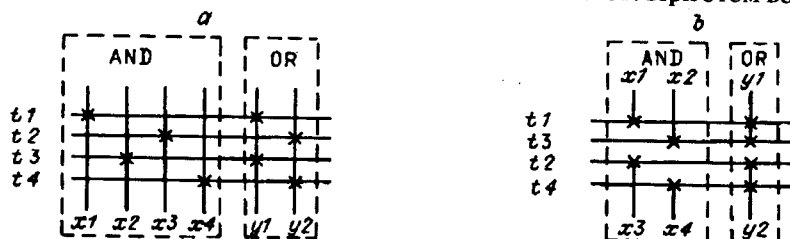


Рис. 1. Свертывание по столбцам:

a — исходная матрица (x — входные, y — выходные сигналы, t — термы), b — матрица, свернутая по столбцам

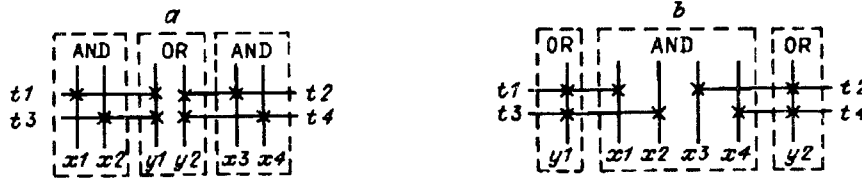


Рис. 2. Свертывание по строкам:  
 а — конфигурация AND-OR-AND, б — конфигурация OR-AND-OR

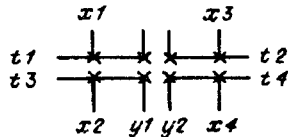


Рис. 3. Исходная матрица, свернутая по строкам, а затем по столбцам

дополнительные проблемы, связанные с разводкой сигналов. В данной работе речь пойдет только о простом свертывании.

**Постановка задачи.** Сформулируем задачу свертывания ПЛМ более строго. Для простоты ограничимся свертыванием по столбцам.

Пусть задано множество  $\{V_1, \dots, V_n\}$  вертикальных и множество  $\{t_1, \dots, t_m\}$  горизонтальных сигнальных линий, которые

будем называть *входами* (или переменными) и *термами* соответственно. Каждый из входов может быть подсоединен к некоторым (или ко всем) термам. При этом если вход  $V_i$  подсоединен к терму  $t_j$ , будем говорить, что переменная  $V_i$  *входит* в терм  $t_j$  или терм  $t_j$  *зависит* от  $V_i$ .

Для каждой переменной  $V_i$  обозначим  $R(V_i)$  — множество всех термов, зависящих от  $V_i$ . Заметим, что два входных сигнала  $V_i$  и  $V_j$  могут разделять один столбец (при некоторой перестановке термов) тогда и только тогда, когда  $R(V_i) \cap R(V_j) = \emptyset$ . В этом случае будем считать, что переменные  $V_i$  и  $V_j$  *сворачиваемы*, а упорядоченную пару  $(V_i, V_j)$  будем называть *сверткой* ( $V_i$  подводится сверху,  $V_j$  — снизу). Очевидно, что совершение такой свертки накладывает ограничения на порядок расположения термов: все термы, принадлежащие множеству  $R(V_i)$ , должны быть расположены выше термов, принадлежащих множеству  $R(V_j)$ . Запишем это как  $R(V_i) > R(V_j)$ . Пусть теперь имеем множество сверток  $\psi = \{(V_i, V_j)_k\}$ ,  $k = 1, \dots, l$ . Если существует такой порядок расположения термов, который удовлетворяет всем ограничениям, т. е.  $R(V_i) > R(V_j)$  для любой свертки из  $\psi$ , то такое множество назовем *совместимым*.

Таким образом, задача свертывания ПЛМ заключается в нахождении множества совместимых сверток с максимальным числом элементов. Она тесно связана с одной из центральных задач теории графов — поиском гамильтонова пути в графе [5, 6]. Учитывая тот факт, что данная задача принадлежит к классу *NP*-полных (или труднорешаемых) [7], особый интерес представляет разработка эффективных алгоритмов нахождения решения, близкого к оптимальному. Одним из методов решения *NP*-полных задач являются алгоритмы с возвратом [5], к которым и принадлежит приводимый в данной работе алгоритм.

**Существующие подходы.** В настоящее время имеется несколько алгоритмов свертывания. Одни из них используют интерактивный подход, другие полностью автоматизированы. Интерактивные алгоритмы заключаются в том, что пользователь сам выбирает, какие столбцы или строки нужно свернуть, а затем программа совершает свертку этих столбцов или строчек и выдает результат пользователю для следующей итерации [8]. Так как этот метод не требует перебора многих вариантов, то он затрачивает гораздо меньше процессорного времени, чем автоматизированные (около минуты для средних ПЛМ). При этом общее время работы примерно в 10 раз (для больших ПЛМ существенно больше) превышает процессорное за счет времени, затрачиваемого пользователем. Это время, как и результат, сильно зависит от

умения и опыта человека. Полученные результаты находятся в широком диапазоне — от 20 до 55 % экономии площади.

Полностью автоматизированные алгоритмы делятся на эвристические и алгоритмы ветвления [6]. Эвристические алгоритмы последовательно выбирают «лучшую» свертку, совместимую с уже выбранными [3, 9, 10]. Понятие «лучшая» может означать, например, малое количество ограничений, накладываемых этой сверткой на порядок термов, или какой-либо другой критерий. Эти алгоритмы достаточно быстры, однако не могут гарантировать оптимальности варианта. Результаты лежат в пределах 25—40 % площади [9].

Алгоритмы ветвления [2] перебирают возможные варианты свертывания (часто работа этих алгоритмов иллюстрируется деревом, где варианты решения — это ветви). Когда найден один вариант, допускается возврат к предыдущему шагу (алгоритм с возвратом) и ищется решение по другой ветви. Теоретически оптимальное решение может быть найдено перебором всех вариантов, но для этого требуется очень много времени ( $O(n!)$ ). Поэтому реально в этих алгоритмах используются некие ограничительные функции, позволяющие «обрезать», т. е. не рассматривать некоторые ветви. Алгоритмы ветвления характеризуются большими затратами времени и памяти, но зато в большинстве случаев находят оптимальный вариант.

Описание алгоритма. Рассмотрим последовательные этапы работы алгоритма.

*Чтение входной матрицы.* Матрица вводится в программу в виде таблицы, состоящей из двух частей. Первая часть (плоскость И) состоит из 0, 1 и «-». 0 означает, что к данному терму подключен инверсный вход данной переменной, 1 — подключен прямой вход, «-» — отсутствует подключение. Вторая часть матрицы (плоскость ИЛИ) состоит из 0 и 1. 1 означает наличие подключения, т. е. присутствие данного терма как слагаемого в данной выходной переменной, 0 — отсутствие подключения.

При чтении этой таблицы программа раскладывает каждый столбец плоскости И на два, соответствующие прямой и инверсной переменной. Каждая прямая переменная получает четный номер, инверсная — следующий за ним нечетный. Результирующая матрица состоит только из 0 и 1.

*Построение графа.* Информацию о всех возможных свертках удобно представить в виде списка пар *сворачиваемых* переменных. Назовем этот список LIST.

Для определения совместимости сверток построим граф, в котором вершины ассоциируются с входными переменными ПЛИМ [11]. Две вершины соединены между собой ненаправленным ребром в том случае, если две соответствующие переменные *невозможно* расположить в одном столбце (рис. 4). Этот граф удобно хранить в памяти в виде массива GRAF [i] размером N (количество переменных во входной матрице), элементами которого являются списки переменных, соединенных с i-й [5, 6]. Каждая вершина графа имеет свой вес (массив w[i]), т. е. количество входящих в нее ребер. При свертке переменных i и j будем соединять эти переменные направленным ребром (от переменной, располагаемой сверху, к переменной, располагаемой снизу).

*Совместимость сверток.* *Чередующийся цикл* — это циклический путь в графе, ребра которого являются попеременно направленными и ненаправленными. Докажем следующее утверждение:

*Если две свертки несовместимы, то соответствующие им направленные ребра образуют в графе чередующийся цикл.*

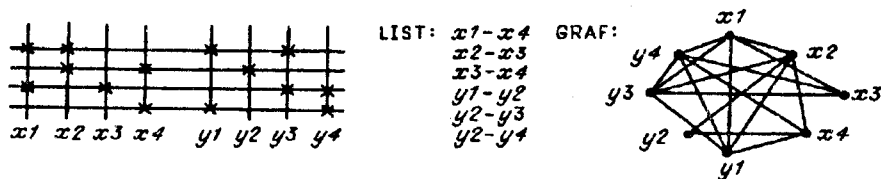


Рис. 4. Матрица и соответствующие ей список пар сворачиваемых переменных и граф

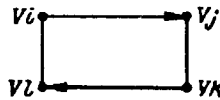


Рис. 5. Чередующийся цикл в графе

Пусть имеем две свертки  $V_i - V_j$  и  $V_k - V_l$ . Соответствующие ограничения на порядок расположения термов запишутся как

$$\begin{aligned} R(V_i) &> R(V_j) \\ R(V_k) &> R(V_l) \end{aligned}$$

Не существует соответствующего порядка термов в том случае, если эти неравенства противоречат друг другу, т. е. существует некий терм, принадлежащий  $R(V_i)$  и  $R(V_l)$ , и некий терм, принадлежащий  $R(V_j)$  и  $R(V_k)$ . В терминах построенного графа это будет означать, что вершины  $i$  и  $l$  и вершины  $j$  и  $k$  соединены ребром. Тогда две совершенные свертки (два соответствующих направленных ребра  $i \rightarrow j$  и  $k \rightarrow l$ ) образуют в графе цикл  $i-j-k-l$  (рис. 5). Очевидно, что верно и обратное утверждение. Аналогичные рассуждения можно провести для произвольного количества сверток. На основании доказанного можно сделать следующий вывод:

*Для того чтобы  $n$  сверток были совместимы, необходимо и достаточно, чтобы  $n$  соответствующих направленных ребер не создавали в графе ни одного чередующегося цикла.*

На этом утверждении, полное доказательство которого приведено в [11], основан алгоритм свертывания, описанный ниже.

**Сортировка списка.** Будем последовательно выбирать из списка LIST свертки, совместимые с уже выбранными. Для того чтобы выбрать как можно больше сверток, список нужно предварительно отсортировать. Критерий сортировки списка определяется из следующих соображений. Чтобы возможность появления цикла в графе была минимальной, необходимо, чтобы вершины, являющиеся концами направленных ребер, создавали в графе как можно меньше путей, т. е. имели минимальный вес.

Начала направленных ребер нужно выбирать с максимальным весом, чтобы, во-первых, быстрее свернуть те вершины, которые свернуть трудно, а во-вторых, чтобы не «занимать» вершины с большим весом, которые хорошо использовать в качестве концов.

Таким образом, получаем критерий сортировки списка: для каждой пары переменных  $V_i$  и  $V_j$  вычисляем разность весов  $w[i] - w[j]$  и сортируем список по убыванию этой величины.

**Процесс свертывания.** Построим теперь алгоритм свертывания. Для этого определим массив FOLD размером  $N/2$  (максимальное число сверток). Элементами массива являются списки сверток. Каждый список имеет текущий указатель PTR [ $k$ ] (рис. 6).

Нулевой элемент массива содержит отсортированный список LIST. Указатель PTR [0] в начальный момент указывает на голову списка. Список FOLD [1] содержит свертки, совместимые с той, на которую в данный момент указывает PTR [0]. Далее элемент массива FOLD [ $k$ ] вычисляется из предыдущего — FOLD [ $k - 1$ ] — путем отбрасывания сверток, которые несовместимы с PTR [0] ... PTR [ $k - 1$ ] (т. е. образуют чередующийся цикл в графе). Таким образом, на некоем  $l$ -м этапе список обращается в нуль, и мы имеем набор совместимых сверток PTR [0], ..., PTR [ $l$ ]. Если это решение лучше уже имеющегося, оно запоминается и поиск продолжается: указатель PTR [ $l$ ] сдвига-

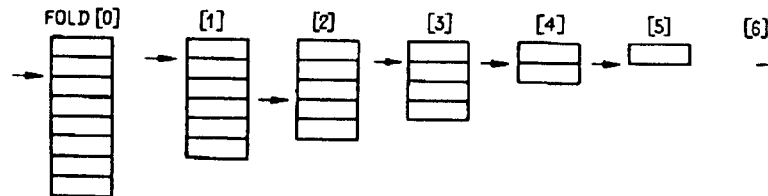


Рис. 6. Процесс свертывания

ется на одну позицию и вычисляется  $FOLD[l + 1]$ . Эта процедура повторяется до тех пор, пока  $PTR[l]$  не дойдет до конца списка. Затем происходит возврат «назад»: указатель  $PTR[l - 1]$  сдвигается вниз по списку  $FOLD[l - 1]$  и пере-вычисляется  $FOLD[l]$ . Работа заканчивается, когда указатель  $PTR[0]$  дойдет до конца списка.

Очевидно, этот алгоритм находит оптимальное решение (поскольку он перебирает все возможные решения). Время его работы экспоненциально растет с ростом размерности матрицы [5], в то время как эффективным может считаться лишь алгоритм с полиномиальной зависимостью [7]. Поэтому предлагается ввести два параметра, определяющие «глубину» поиска, которые можно менять в зависимости от размерности матрицы. Во-первых, пусть указатели  $PTR$  передвигаются не до конца списка, а просматривают первые  $p$  ребер. Во-вторых, пусть возврат «назад» совершается не к предыдущему списку, а к списку с номером  $q$ .

Учитывая, что списки отсортированы, можно ожидать, что близкое к оптимальному решение будет найдено в начале поиска. Практически установлено, что для средних ПЛМ оптимальными значениями параметров являются  $q = 2, p = 3$ .

Для упрощения программы и ускорения ее работы создана специальная версия для  $q = 2$ . Имеются только три списка: *head*, *neck* и *body*. Для фиксированных значений *head* и *neck* составляется список *body* совместимых с ними сверток, и, двигаясь по нему до конца, выбираются свертки, совместимые с уже выбранными. Затем меняем *neck* и повторяем процесс. Это повторяется  $p$  раз, после чего меняется *head*. Параметр  $p$  задается во входном файле. Выбирается лучший из перебранных вариантов. Таким образом, существенный эффект сокращения дерева перебора достигается отсекаем ветвей, которые увеличивают вероятность появления цикла в графе и, следовательно, не приводят к оптимальному результату.

**Программная реализация алгоритма. Последовательность свертывания. Особенности второго этапа свертывания.** Поскольку свертывание по столбцам оказывает влияние на свертывание по строкам, и наоборот, последовательность их осуществления имеет большое значение. В программе предусмотрена возможность совершить свертывание в два этапа: по строкам, а затем по столбцам, и наоборот, после чего подсчитать сэкономленную площадь и выбрать лучший вариант. Кроме того, при свертывании по строкам выбирается лучший вариант между конфигурациями OR—AND—OR и AND—OR—AND.

На втором этапе свертывания необходимо учитывать ограничения на порядок расположения строк (или столбцов), внесенные на первом этапе. В работе [3] предлагается это делать следующим образом. Пусть для определения на первом этапе проводилось свертывание по столбцам. Построим направленный граф CONS, в котором вершины ассоциируются с термами, а ребро  $t_i \rightarrow t_j$  означает, что терм  $t_i$  должен располагаться выше терма  $t_j$ . CONS содержит ограничения, внесенные свертыванием столбцов (рис. 7).

Очевидно, что этот граф ациклический. Очевидно также, что если существует путь в нем от вершины  $t_i$  к вершине  $t_j$ , то термы, соответствующие этим вершинам, нельзя расположить в одной строке. Это означает, что при свертывании строк, кроме проверки графа GRAF на наличие циклов, необходимо осуществлять проверку графа CONS на наличие пути. Это, в свою очередь, означает, что необходимо внести добавление в критерий сортировки списка. Для этого введем два о п р е д е л е н и я:

В направленном графе вершина  $i$  называется *предком* вершины  $j$ , а  $j$  — *потомком* вершины  $i$ , если существует путь из  $i$  в  $j$ .

Посчитаем количество потомков и предков для каждой

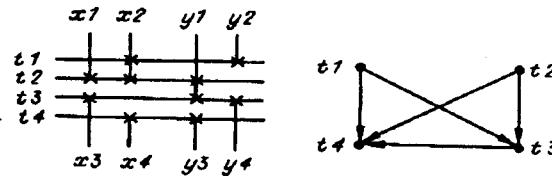


Рис. 7. Свернутая по столбцам матрица и соответствующий граф ограничений

вершины, заведем соответственно массивы *anc* и *dec*. Для того чтобы сделать максимальное количество сверток на втором этапе, количество пар термов, находящихся друг с другом в «родственных отношениях», должно быть минимальным.

Осуществление свертки термов *ti* и *tj* означает слияние вершин *ti* и *tj* в графе CONS. Все потомки *ti* становятся потомками *tj*, и наоборот. Все предки *ti* становятся предками *tj*, и наоборот. Следовательно, необходимо минимизировать величину

$$\text{anc}[i]\text{dec}[j] + \text{anc}[j]\text{dec}[i].$$

На втором этапе свертывания эту величину нужно добавить к ранее найденному критерию сортировки.

*Реализация.* Программа предназначена для проектирования ПЛМ, являющейся частью интегральной схемы, поэтому в ней предусмотрены некоторые средства для удобства проектировщика:

1. В результирующей матрице прямая переменная всегда находится рядом с инверсной. Для этого при свертывании двух входов проверяется, можно ли свернуть соответствующие им инверсные входы. Если нельзя, то они исключаются из дальнейшего рассмотрения. Кроме того, при свертывании по строкам (AND—OR—AND) прямой и инверсный входы всегда расположены по одну сторону от плоскости OR.

2. Применение свернутой ПЛМ в качестве функционального блока реальной топологии может накладывать ряд ограничений на расположение входов и выходов результирующей матрицы. Пользователь может задать во входном

| ПЛМ | I/O   | T   | TR, % | RC/CR | STRUC | FOLD | S  | CPU, c |
|-----|-------|-----|-------|-------|-------|------|----|--------|
| 1   | 30/20 | 50  | 16,8  | RC    | A     | 3/10 | 75 | 45,9   |
| 2   | 20/8  | 15  | 24,3  | RC    | O     | 3/10 | 51 | 11,9   |
| 3   | 32/8  | 16  | 18,1  | RC    | A     | 1/15 | 58 | 12,5   |
| 4   | 24/6  | 18  | 18,0  | CR    | A     | 11/1 | 59 | 10,0   |
| 5   | 18/11 | 20  | 18,6  | RC    | A     | 2/10 | 58 | 8,0    |
| 6   | 22/20 | 17  | 20,2  | RC    | A     | 1/13 | 64 | 2,1    |
| 7   | 18/13 | 16  | 17,7  | RC    | A     | 4/9  | 53 | 1,4    |
| 8   | 22/14 | 23  | 14,9  | RC    | O     | 5/11 | 54 | 23,5   |
| 9   | 26/6  | 19  | 17,9  | RC    | A     | 2/12 | 55 | 10,5   |
| 10  | 52/44 | 36  | 11,7  | CR    | A     | 30/2 | 64 | 64,6   |
| 11  | 56/39 | 179 | 19,4  | C     | —     | 22   | 76 | 24,4   |
| 12  | 12/64 | 64  | 7,9   | CR    | O     | 38/5 | 46 | 74,3   |
| 13  | 16/8  | 61  | 26,6  | CR    | A     | 5/5  | 72 | 30,5   |
| 14  | 16/16 | 10  | 18,7  | C     | —     | 0/16 | 50 | 5,6    |
| 15  | 32/4  | 16  | 29,2  | C     | —     | 0/16 | 55 | 1,5    |
| 16  | 20/4  | 46  | 27,4  | CR    | A     | 7/1  | 69 | 7,2    |

*Примечание.* I/O — количество входных/выходных переменных матриц, T — количество термов, TR — плотность транзисторов, RC/CR — последовательность свертывания, давшая лучший результат, STRUC — расположение плоскостей: O (OR—AND—OR) или A (AND—OR—AND), FOLD — число полученных пар строк/столбцов или столбцов/строк, S — новая площадь матрицы в процентах к старой, CPU — процессорное время (VAX серии 8000).

файле списки переменных и термов, которые должны находиться сверху или снизу (слева или справа для термов). Эти ограничения обычно не оказывают влияния на эффективность результата. Более сложные ограничения описаны в [4].

3. Можно ограничить работу программы только свертыванием столбцов (или строк) или только свертыванием входов (или выходов).

4. Имеется подпрограмма генерации топологии, позволяющая получить реальную топологию ПЛМ (КМОП или ПМОП), удовлетворяющую правилам проектирования.

Основные результаты. Описанная программа реализована на языке Си, работает в операционных средах VAX/VMS и UNIX. Основные результаты ее работы для нескольких ПЛМ приведены в таблице.

Средний процент экономии площади матрицы 40. Поскольку топология свернутой ПЛМ имеет ряд особенностей (разрывы сигнальных линий, расположение усилителей входных сигналов сверху и снизу матрицы и т. п.), эта цифра не отражает реальной экономии площади кристалла, однако дает представление об эффективности работы алгоритма.

Программа активно используется при проектировании БИС, наряду с другими средствами оптимизации ПЛМ.

#### СПИСОК ЛИТЕРАТУРЫ

1. Ульман Дж. Д. Вычислительные аспекты СБИС.—М.: Радио и связь, 1990.
2. Grass W. A depth-first branch and bound algorithm for optimal PLA folding // Proc. 19-th ACM/IEEE Design Automatic Conference.—Las Vegas, Nevada, 1982.—P. 133.
3. Hachtel G. D., Newton A. R., Sangiovanni-Vincentelli A. L. Techniques for PLA folding // Ibid.—P. 147.
4. De Micheli G., Sangiovanni-Vincentelli A. L. PLEASURE: A computer program for simple/multiple constrained/unconstrained folding of PLA // Proc. 20-th ACM/IEEE Design Automation Conference.—Miami Beach, 1983.—P. 530.
5. Липский В. Комбинаторика для программистов.—М.: Мир, 1988.
6. Maciej M. Syslo Discrete Optimization Algorithm with Pascal Program.—Englewood Cliffs, New Jersey: Prentice-Hall, 1983.
7. Емеличев В. А., Мельников О. И., Сарванов В. И., Тышкевич Р. И. Лекции по теории графов.—М.: Наука, 1990.
8. Xuequn Xiang, Saburo Muroga. Interactive reduction of folded PLAs // IEEE.—1986.—P. 592.
9. Sun Young Hwang, Dutton R. W., Blank T. A best-first search algorithm for optimal PLA folding // IEEE Trans. on CAD.—1986.—CAD-5, N 3.
10. Kuo Y. S., Chen C., Hu T. C. A heuristic algorithm for PLA block folding // Proc. 22nd Design Automation Conference.—Las Vegas, Nevada, 1985.—P. 744.
11. Hachtel G. D., Newton A. R., Sangiovanni-Vincentelli A. L. An algorithm for optimal PLA folding // IEEE Trans. Computer-Aided Design.—1982.—CAD-1.—P. 63.

*Поступила в редакцию 28 марта 1992 г.*

УДК 621.138 : 519.87

Е. Г. Антонянц

(Новосибирск)

#### АЛГОРИТМ «ПЛУГИРОВАНИЯ» ДЛЯ КОМПАКТИЗАЦИИ ТОПОЛОГИИ СБИС

Представлен алгоритм для модификации топологии СБИС, который можно использовать, с одной стороны, как одномерный компактизатор, с другой — как средство для реорганизации топологии СБИС без изменения электрической схемы, сохраняя при этом корректность по отношению к конструкторско-технологическим ограничениям. Приведены сведения о программной реализации алгоритма «пlugирования» и других алгоритмов, существенных для эффективной работы этой операции.